

بررسی الگوی فعالیت عضلانی کمر بند شانه ای زنان در برخی تمرینات رایج فیزیوتراپی اندام فوقانی

*مهشید متین^۱، اسماعیل ابراهیمی^۲، محمد جعفر شاطرزاده^۳، مهیار صلواتی^۴، انوشیروان کاظم نژاد^۵

حکیمہ

هدف: هدف از این مطالعه بررسی الکتروموگرافیک الگوی فعالیت عضلانی عضلات کمربند شانه‌ای خانم‌ها در برخی تمرینات عملکردی انتخابی اندام فوقانی که در فیزیوتراپی رایج می‌باشند بود.

روش بررسی: در این تحقیق شبه تجربی، ۳۶ نفر از زنان سالم به صورت دردسترس و ساده انتخاب و الکترودهای سطحی روی عضلات سینه‌ای بزرگ، دوزنده‌ای فوچانی، دوزنده‌ای میانی، تحت خاری، سه‌گوش قدامی، سه‌گوش میانی و سه‌گوش خلفی آنها قرار گرفته و ۶ تمرین عملکردی شامل تمرینات دورکردن بازو در دو صفحه فرونتال و اسکاپولار، دی ۲ اف، تری پاد و پرس آپ را به طور تصادفی انجام داده و فعالیت الکتریکی عضلات ثبت شد. الگوی فعالیت عضلانی در دو حوزه زمانی، زمان شروع به فعالیت و زمان به حداقل رسیدن لیلت و حوزه سطح فعالیت، با استفاده از شاخص الکترومیوگرافی یکپارچه نرمال شده (NIEM) بررسی شد. روش آماری استفاده شده در این تحقیق تحلیل واریانس برای تأثیرگذاری بود.

یافته ها: عضله ذوزنقه ای فوقانی در اغلب قریب به اتفاق الگوهای حرکتی مورد بررسی سریعترین عضله بکار گرفته شده و با حداقل سطح فعالیت در مقایسه با سایر عضلات بود. رفتار عضله سینه ای بزرگ در هر دو حوزه زمان و سطح فعالیت واپسیه به الگوی فعالیت انجام شده متغیر بود. همچنین فعالیت عضلات سه گوش قدامی و خلفی در برخی از الگوهای حرکتی خصوصاً الگوهای حرکتی مایل مانند الگوی حرکتی دور کردن بازو در صفحه اسکابولار و یا محوری مانند الگوهای حرکتی دی ۲ اف و دی ۲ ای سطح فعالیت بالایی داشت. عضله سه گوش میانی در کلیه الگوهای حرکتی به عنوان یک عضله حرکت دهنده اصلی عمل کرده و ذوزنقه ای میانی تحت خار، هم تغییری دارد، کلیه الگوهای حرکتی رفتار تقریباً مشابه از خدمنشا: مردادن.

تیجه گیری: رفتار عضله ذوزنقه‌ای فوقانی وابسته به شکل الگوی حرکتی نمی‌باشد، در حالی که عضله سینه‌ای بزرگ وابسته به الگوی حرکتی می‌باشد. فعالیت عضلات سه‌گوش قدامی و خلفی وابسته به راستای انجام الگوی حرکتی و سه‌گوش میانی وابسته به جایگایی مفصل هدف در الگوی حرکتی می‌باشد و عضلات ذوزنقه‌ای میانی و تحتی خاری نیز به عنوان عضلات ثبات دهنده - هدایت کننده و استیگ به الگوی فعالیت عضلانی ندانند.

كلبدهاذه ها: الكت ومسك اف سطح / الگو، فعالیت عضلانه / کم بند شانه اه / تم بنات

فیزیوتراپی

- کارشناس ارشد فیزیوتراپی
 - دکترای فیزیوتراپی، استاد دانشکده توانبخشی دانشگاه علوم پزشکی ایران
 - دکترای فیزیوتراپی، استادیار دانشکده توانبخشی دانشگاه علوم پزشکی جندی شاپور اهواز
 - دکترای فیزیوتراپی، دانشیار دانشگاه علوم بهزیستی و توانبخشی
 - دکترای آمار حیاتی، استاد دانشگاه تربیت مدرس

تاریخ دریافت مقاله: ۸۷/۷/۵
تاریخ پذیرش مقاله: ۸۸/۷/۱۲

*آدرس نویسنده مسئول:
اهواز، بلوار گلستان، دانشگاه علوم
پزشکی جندی شاپور، دانشکده
توانبخشی، گروه فیزیوتراپی

*E-mail: matin@medinews.com



دیدگاه به شرح زیر می باشد(۴) :

حدود ثابت و فشار محوری خارجی^۸

حدود متحرک و فشار محوری خارجی^۹

حدود متحرک و فشار چرخشی خارجی^{۱۰}

حدود متحرک و بدون فشار^{۱۱}

مثالی از حرکات گروه اول، اعمال نیروی محوری در وضعیت تری پاد^{۱۲}، برای گروه دوم تمرین پوش آپ^{۱۳}، برای گروه سوم انجام الگوهای تسهیل عصبی - عضلانی پروپریوپسیتو^{۱۴} (PNF) با وزنه و در نهایت دور کردن بازو^{۱۵} در دو صفحه فرونتال و اسکاپولا ر به طور آزادانه و بدون وزنه مثال گروه چهارم هستند. با مروری بر تحقیقات گذشته دیده می شود که هدف بیشتر این تحقیقات ارزیابی سطح فعالیت الکتریکی عضلات کمربند شانه ای طی تمرینات مختلف بوده است (۶-۱۵).

در برخی از تحقیقات نیز به الگوی فعال شدن عضلات شانه حین بالا بردن اندام فوقانی در صفحه اسکاپولا ر به شرح زیر است: ذوزنقهای^{۱۶} فوقانی، تحت خاری^{۱۷}، سه گوش^{۱۸} میانی، دندانهای قدامی^{۱۹} و ذوزنقهای تحتانی. همچنین بررسی الگوی فعالیت عضلات شانه هنگام انجام چرخش داخلی و خارجی بازو با استفاده از سیستم های حرکت سنجی مشخص کرد که عضلات روتاتور کاف و دوسربازویی پیش از شروع حرکت فعال می شوند و ثبات مفصل را تأمین می کنند و بعد از آن عضلات سه گوش و سینه ای بزرگ فعال می گردند.

در بیشتر تحقیقات انجام شده الگوی فعال شدن عضلات در یک صفحه حرکتی و یا در حرکتی ساده مشخص شده و بررسی الگوی فعالیت عضلانی در الگوهای حرکتی عملکردی کمتر انجام شده است، از آنجا که با مشخص شدن ترتیب فعال شدن عضلات طی تمرینات مختلف، درمانگران قادر خواهد بود پیشرفت مناسبی در

مقدمه

هر فردی یک الگوی حرکتی دارد که این الگو در بیمارانی که مشکلات عضلانی اسکلتی دارند، از حالت طبیعی خارج می شود. اکثر حرکاتی که در فعالیتهای روزمره انجام می شوند، می توانند ضایعاتی را که منجر به اختلالات بیماری زا شود، ایجاد کنند(۱). اثرات تجمعی حرکات تکراری، صدمات بافتی است، خصوصاً وقتی که حرکات از راستای کینزیولوژیک ایده آل شان خارج شوند. علت اصلی انحرافات در الگوهای حرکتی مفصل، حرکات تکراری و حفظ وضعیتها به طور مداوم است. اگر راستای الگوی حرکتی اصلاح نشود و حرکات تکراری ادامه یابند، الگوی حرکتی ضایعه دیده منجر به میکروتروما و نهایتاً ماکروتروما خواهد شد. اصلاح الگوهای حرکتی اختلال یافته مستلزم تشخیص و اصلاح حرکت و اجزای حرکتی اختلال یافته است (۲).

اختلالات شانه یکی از شایعترین مشکلات در مفاصل محیطی با شیوع سالانه ۱۱/۲ در هر هزار بیمار است(۳). عملکرد اندام فوقانی به دلیل وضعیتهای مختلف شانه و سرعتهای زیادی که شانه توسط آن می تواند حرکت کند، جهت توصیف مشکل است(۴). طبقه بندی تمرینات نیز جهت توانبخشی اندام فوقانی به دلیل پیچیدگی های این مفصل مشکل است. سیستم های طبقه بندی بسیاری پیشنهاد شده اند، ولی هیچ کدام از آنها به طور کامل توانبخشی اندام فوقانی را در بر نمی گیرند(۵).

با در نظر گرفتن پیچیدگی اندام فوقانی و برنامه های توانبخشی مربوط به آن، چند خصوصیت برای طبقه بندی و طراحی فعالیتهای توانبخشی مهم هستند. این خصوصیات که اساس انتخاب فعالیتها برای برنامه توانبخشی اندام فوقانی هستند عبارتند از:

۱- جهت نیرو که می تواند محوری^۱ یا غیر محوری^۲ باشد.

۲- شدت نیروی اعمال شده که می تواند شدت بالا همراه با سرعت کم یا شدت کم همراه با سرعت بالا باشد.

۳- عمل عضلانی که می تواند به صورت انقباض همزمان گروههای عضلانی^۳، افزایش شتاب^۴ یا کاهش شتاب^۵ باشد.

۴- حرکت مفصل که بر اساس جهت نیروی اعمال شده به صورت خطی^۶ یا چرخشی^۷ است.

۵- عملکرد عصبی عضلانی که ممکن است نتیجه فعال شدن ارادی یا رفلکسی عضلانی باشد (۴).

بر اساس طبقه بندی لپهارت و هنری، درمانگران لازم است که این خصوصیات را در یک پرتوکل توانبخشی برای اندام فوقانی در نظر بگیرند. مراحل و سطوح حرکات عملکردی اندام فوقانی بر اساس این

1- Axial	2- Non-axial
3- Cocontraction	4- Acceleration
5- Decceleration	6- Linear
8- Fix Boundary and External Axial Load	7- Rotary
9- Movable Boundary and External Axial load	
10- Movable Boundary and External Rotaty load	
11- Movable Boundary and No load	
12- Tripod	13- Push-up
14- Proprioceptive Neuromuscular Facilitation	
15- Abduction	16- Trapezius
17- Infraspinatus	18- Deltoid
19- Anterior Seratus	20- Pectoralis major



کتف^۱ و مهره‌های پشتی – سینه‌ای و الکتروودهای عضله تحت‌خاری روی نصف فاصله بین زاویه تحتانی تاریشه خارکتف و ۲ سانتیمتر خارج‌تر از لبه داخلی کتف قرار داده شدند(۲۰-۲۲). الکتروودهای عضله ذوزنقه‌ای فوقانی بر وسط فاصله بین زائده خاری هفت‌مین مهره گردنی و لبه خلفی زائده اخرمی و در راستای خط ذوزنقه‌ای قرار گرفتند(۲۳).

هرگونه ثبت الکتروموگرافی سطحی در معرض ثبت سیگنال مزاحم از عضلات اطراف(cross talk) است(۲۴). به منظور به حداقل رساندن ثبت سیگنال مزاحم از عضلات اطراف، الکتروودهای اطفال که کوچکتر از الکتروودهای معمول و از جنس نقره /کلرید نقره بودند و با فاصله بین الکتروودی ۲ سانتیمتر استفاده شد. الکتروودها نزدیک به برش میانی هر عضله قرار داده شدند تا این وسیله ثبت پتانسیل عمل از نزدیکترین واحد حرکتی به حداکثر و ثبت از عضلات اطراف به حداقل برسد(۲۵). انقباضات ایزومتریک ارادی حداکثر تمام عضلات موردنظر به منظور نرم‌سازی اطلاعات الکتروموگرافی انجام شد(۲۶). از افراد خواسته شد مجموعه ای از شش تمرین اندام فوقانی (تری‌پاد، پوش آپ، دی ۲ اف^۷، دی ۲ ای^۸، ابداکشن در صفحه فرونتال و ابداکشن در صفحه اسکاپولار یا اسکپشن^۹) را انجام دهند. ترتیب تمرینات به طور تصادفی بود تا از خطاهای احتمالی (Bias) ناشی از خستگی متعاقب انجام الگوهای حرکتی جلوگیری شود. تصاویر این شش تمرین در زیر آمده است.



شکل ۱- تری پاد

- 1- Clavicular
- 3- Axillar
- 5- Epicondyl
- 7- Diagonal 2 Flexion
- 9- Scaption

- 2- Clavicle
- 4- Acromion
- 6- Scapula
- 8- Diagonal 2 Extension

برنامه توانبخشی و تمرینات لازم برای اختلالات مفصل شانه ایجاد کنند، لذا به نظر می‌رسد شناخت الگوی فعالیت عضلانی از هر دو وجه فضایی - زمانی (spatiotemporal) می‌تواند کمک قابل ملاحظه‌ای اولاً^{۱۰} به شناخت الگوهای حرکتی غیر طبیعی نموده و ثانیاً راهنمای مناسبی جهت طراحی یک برنامه درمانی مناسب بر مبنای اصلاح الگوهای حرکتی غیر طبیعی باشد.

در این تحقیق شناخت الگوی حرکتی عضلانی در افراد سالم به معنای شناخت روند حرکتی طبیعی است. جهت ارزیابی، الگوهای حرکتی باید به شکلی انتخاب شوند که قابلیت ارزیابی کلیه حرکاتی که یک مفصل یا یک مجموعه مفصلی طی حرکات روزمره با آن مواجه است را داشته باشد. انتخاب تمرینات در این تحقیق به دلیل این است که این تمرینات براساس فعالیتهای روزمره می‌باشند.

روش بررسی

۳۶ دختر سالم (با میانگین سنی ۲۴ تا ۲۶ سال) با نمونه‌گیری ساده، از نمونه‌های در دسترس، به طور داوطلبانه در این تحقیق شرکت کردند. نمونه‌ها از دانشجویان دانشکده توانبخشی دانشگاه جندی شاپور اهواز بودند. کلیه آزمودنی‌ها در صورتی که سابقه صدمه قبلى در شانه، آرنج، مچ دست یا گردن را ذکر می‌کردند از تحقیق خارج می‌شدند و همه افراد فرم رضایت نامه را قبل از شروع کار امضا می‌کردند.

قبل از انجام مرحله اصلی تحقیق یک جلسه جهت آشنایی افراد با روند تحقیق برگزار شده و پس از حصول اطمینان از توانایی آزمودنی‌ها نسبت به انجام حرکات مورد نظر بر اساس دستور گفتاری و هدایت حرکتی آموخته شده، وارد مرحله اصلی تحقیق می‌شدند.

جهت بررسی فعالیت الکتریکی عضلانی حین تمرینات، از الکتروموگرافی سطحی استفاده شد. پوست فرد قبل از کاربرد الکتروود به منظور به حداقل رساندن مقاومت پوستی آماده سازی شد. الکتروودهای سطحی دو قطبی روی بخش ترقوهای^{۱۱} عضله سینه‌ای بزرگ، سه‌گوش قدامی، سه‌گوش میانی، سه‌گوش خلفی، ذوزنقه‌ای فوقانی، ذوزنقه‌ای میانی و تحت‌خاری به طریقه استاندارد قرار داده شدند. الکتروودهای عضله سینه‌ای بزرگ^{۱۲} انگشت پایین تراز ترقوه^{۱۳} و ۳/۵ سانتیمتر به سمت داخل از لبه قدامی حفره زیر بغل^{۱۴} و به موازات فیبرهای عضله، الکتروودهای سه‌گوش قدامی و خلفی روی یک پنجم فاصله بین اخرمی^{۱۵} قدامی و خلفی (به ترتیب) تا برلغمهای^{۱۶} خارجی، الکتروودهای سه‌گوش میانی بر روی وسط فاصله بین زائده خاری مهره هفتم گردنی و لبه خلفی زائده اخرمی در راستای خط ذوزنقه‌ای، الکتروودهای ذوزنقه‌ای میانی روی وسط خط افقی بین ریشه خار



شکل ۵- دی ۲ ای



شکل ۲- دی ۲ اف



شکل ۶- ابداکشن در صفحه اسکاپولا (اسکپشن)

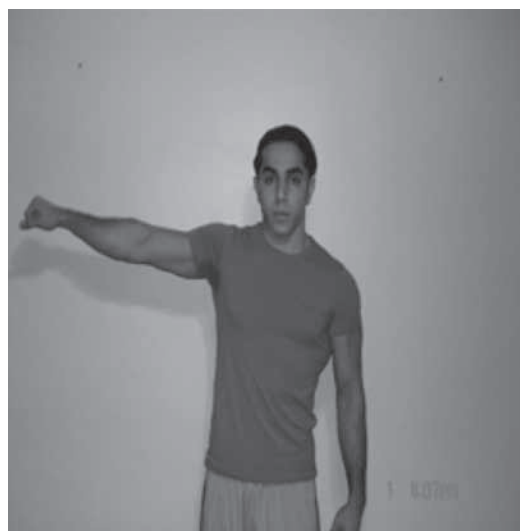
از فرد خواسته می شد به مدت ۳ ثانیه عضلات را تا حدامکان شل کند و سپس به مدت ۵ ثانیه حرکت را انجام داده و نهایتاً به مدت ۳ ثانیه مجدداً عضلات شل را شل کند. بین انجام هر دو تمرین ۲ دقیقه به فرد استراحت داده می شد. برای اطمینان از زمان مورد نظر از زمان سنج استفاده می شد.

دستگاه الکترومیوگرافی استفاده شده در این تحقیق یک سیستم تله متري ام تی^۱ از شرکت ام. آی. آی.^۲ ساخت کشور انگلستان بود. سیگنالهای خام الکترومیوگرافی از هفت عضله در زمانی ۱۱ ثانیه ای جمع آوری می شد، سپس تمام اطلاعات با استفاده از نرم افزار MyoDat ثبت، ذخیره و آنالیز شدند. آنالیز سیگنالها در دو حوزه زمان (زمان شروع و زمان به حداقل رسیدن فعالیت عضلات) و در حوزه سطح فعالیت با اندازه گیری شاخص الکترومیوگرافی یکپارچه و کلی نرمال شده^۳ با استفاده از شاخص^۴ NIAV به عنوان یک معیار جهت مقایسه سطح فعالیت الکتریکی عضلات صورت گرفت.

در مورد زمان شروع به فعالیت در این بررسی، زمان شروع به فعالیت



شکل ۳- پوش آپ



شکل ۴- ابداکشن در صفحه فرونتال

1- MT8

2- MIE

3- Normalized Integrated Electromyography

4- Normalized the Integral of the Absolute Value



ذکر شده بdst آمد. در مرحله بعد آزمون کولموگروف - اسمنوف جهت بررسی نرمال بودن توزیع داده‌ها انجام شد و نهایتاً با استفاده از آزمون تحلیل واریانس برای اندازه‌های تکراری و مقایسه چندگانه Tukey HSD معنادار یا غیر معنادار بودن اختلاف بین متغیرهای ذکر شده در عضلات مورد نظر بررسی شد.

اولین عضله به عنوان صفر (T) در نظر گرفته شد (زمان شروع نسبی) و زمان شروع به فعالیت سایر عضلات از این زمان کم شده و نسبت به آنها سنجیده شد. تقدم و تأخیر ترتیب فعال شدن این عضلات بر اساس اختلاف از T عضله‌ای که زودتر شروع به فعالیت می‌کند است.

کلیه اطلاعات خام جهت بررسی آماری با استفاده از نرم افزار آماری اس.پی.اس. نسخه ۱۱/۵ مورد بررسی و تجزیه و تحلیل قرار گرفت. ابتدا آمار توصیفی سه متغیر ذکر شده بdst آمدکه براساس آن توالی زمان‌های شروع و به حداقل رسیدن فعال شدن عضلات و همچنین سطح فعالیت عضلانی و نتیجتاً الگوی فعال شدن عضلات جدول ۱ - آمار توصیفی برای متغیر زمان شروع فعالیت عضلات مورد نظر در تمرینات انتخابی

یافته‌ها

آمار توصیفی متغیر زمان شروع به فعالیت هفت عضله مورد نظر طی شش دسته تمرین در جدول ۱ آمده است.

اسکپشن												عضله
تری پاد			پرس آپ			دی ۲ اف			دی ۲ ای			ابداکشن
انحراف	میانگین	معیار	انحراف	میانگین	معیار	انحراف	میانگین	معیار	انحراف	میانگین	معیار	
۰/۲۵	۰/۲	۰/۵	۰/۳۷	۰/۶	۰/۶۴	۰/۷	۰/۵۴	۰/۴	۰/۴۴	۰/۲	۰/۱۷	سینه‌ای بزرگ
۰/۳	۰/۲۶	۰/۲	۰/۲۳	۰/۴	۰/۲۸	۰/۵	۰/۴۹	۰/۷	۰/۳۷	۰/۳	۰/۲۴	ذوزنقه‌ای فوقانی
۰/۴۴	۰/۴	۰/۴	۰/۴۷	۰/۴	۰/۶۵	۰/۴	۰/۵۳	۰/۴	۰/۴۵	۰/۳	۰/۳۲	ذوزنقه‌ای میانی
۰/۳	۰/۲۹	۰/۴	۰/۳۲	۰/۶	۰/۶۳	۰/۵	۰/۵۶	۰/۴	۰/۵۵	۰/۲	۰/۳	تحت خاری
۰/۳	۰/۲۸	۰/۲	۰/۲۷	۰/۷	۰/۵۴	۰/۵	۰/۶۶	۰/۴	۰/۵۲	۰/۴	۰/۵	سه‌گوش قدامی
۰/۴	۰/۳۱	۰/۳	۰/۲۹	۰/۶	۰/۴۳	۰/۳	۰/۳۵	۰/۴	۰/۵	۰/۳	۰/۳۳	سه‌گوش میانی
۰/۳	۰/۳۹	۰/۶	۰/۶۹	۰/۶	۰/۷۶	۰/۴	۰/۴۶	۰/۶	۰/۹۷	۰/۳	۰/۴۲	سه‌گوش خلفی

دی ۲ ای: سه‌گوش میانی \geq سه‌گوش خلفی \geq ذوزنقه‌ای فوقانی \geq ذوزنقه‌ای میانی \geq سینه‌ای بزرگ \geq تحت خاری \geq سه‌گوش قدامی
ابداکشن: ذوزنقه‌ای فوقانی \geq سینه‌ای بزرگ \geq ذوزنقه‌ای میانی \geq سه‌گوش میانی \geq سه‌گوش قدامی \geq تحت خاری \geq سه‌گوش خلفی
اسکپشن: سینه‌ای بزرگ \geq ذوزنقه‌ای فوقانی \geq تحت خاری \geq ذوزنقه‌ای میانی \geq سه‌گوش میانی \geq سه‌گوش خلفی
آمار توصیفی متغیر زمان به حداقل رسیدن هفت عضله مورد نظر طی شش دسته تمرین در جدول ۲ آمده است.

براساس این جدول و نمودار (۱) الگوی فعال شدن عضلات مورد نظر طی شش دسته تمرین عبارتست از:
تری پاد: سینه‌ای بزرگ \geq ذوزنقه‌ای فوقانی \geq سه‌گوش قدامی \geq تحت خاری \geq سه‌گوش میانی \geq سه‌گوش خلفی \geq ذوزنقه‌ای میانی
پرس آپ: ذوزنقه‌ای فوقانی \geq سه‌گوش قدامی \geq سه‌گوش میانی \geq سه‌گوش خلفی
دی ۲ اف: ذوزنقه‌ای بزرگ \geq ذوزنقه‌ای میانی \geq سه‌گوش خلفی
تحت خاری \geq سینه‌ای بزرگ \geq ذوزنقه‌ای میانی \geq سه‌گوش خلفی
تحت خاری \geq سه‌گوش میانی \geq سه‌گوش خلفی

جدول ۲ - آمار توصیفی متغیر زمان به حداقل رسیدن فعالیت عضلات مورد نظر در تمرینات انتخابی

اسکپشن												عضله
تری پاد			پرس آپ			دی ۲ اف			دی ۲ ای			ابداکشن
انحراف	میانگین	معیار	انحراف	میانگین	معیار	انحراف	میانگین	معیار	انحراف	میانگین	معیار	
۱/۷	۲/۳۹	۱/۸	۳/۳۷	۲/۳	۴/۵	۲/۶	۴/۱۹	۲/۰	۳/۵	۱/۱۷	۱/۷۸	سینه‌ای بزرگ
۱/۴	۲/۶۷	۱/۷	۴/۴	۱/۵	۳/۱۹	۲/۳	۴/۹۸	۲/۳	۴/۷۳	۱/۲	۱/۸۹	ذوزنقه‌ای فوقانی
۱/۲	۲/۲۳	۱/۸	۴/۲۳	۰/۸	۱/۸۵	۲/۶	۵/۱	۲/۲	۴/۱۶	۱/۰	۲/۱۷	ذوزنقه‌ای میانی
۱/۲	۲/۷	۱/۹	۴/۰۶	۱/۵	۳/۰۳	۲/۰	۴/۹۲	۲/۴	۴/۳۴	۱/۰	۱/۷۱	تحت خاری
۱/۶	۲/۲۸	۱/۵	۳/۹۸	۱/۷	۳/۰۰	۲/۱	۴/۸۲	۲/۳	۴/۲۶	۱/۲	۱/۹۵	سه‌گوش قدامی
۱/۵	۲/۸	۱/۷	۴/۵	۱/۰	۲/۳۳	۲/۷	۵/۴۷	۲/۱۲	۵/۰	۱/۱	۲/۰۲	سه‌گوش میانی
۱/۵	۲/۹۳	۱/۵	۴/۳۱	۱/۰۷	۱/۹	۲/۴	۵/۳۲	۲/۱۲	۴/۲۱	۰/۷	۱/۲۱	سه‌گوش خلفی

دی ۲ ای: سینه‌ای بزرگ \geq سه‌گوش قدامی \geq تحت خاری \geq ذوزنقه‌ای
فوقانی \geq ذوزنقه‌ای میانی \geq سه‌گوش خلفی \geq سه‌گوش میانی
ابداکشن: سینه‌ای بزرگ \geq ذوزنقه‌ای میانی \geq سه‌گوش خلفی \geq
سه‌گوش قدامی \geq تحت خاری \geq سه‌گوش میانی \geq ذوزنقه‌ای فوقانی
اسکپشن: سه‌گوش خلفی \geq تحت خاری \geq سینه‌ای بزرگ \geq ذوزنقه‌ای
فوقانی \geq سه‌گوش قدامی \geq سه‌گوش میانی \geq ذوزنقه‌ای میانی
آمار توصیفی متغیر سطح فعالیت عضلانی عضلات مورد نظر پس از
نرمال‌سازی داده‌ها توسط انقباض ایزو متیریکارادی حداکثر هر عضله
در وضعیت قراردادی تست عضلانی در جدول ۳ آمده است.

بر اساس این جدول و نمودار (۲) الگوی به حداکثر رسیدن فعالیت
عضلات مورد نظر طی شش دسته تمرين عبارتست از:

تری پاد: ذوزنقه‌ای میانی \geq سه‌گوش قدامی \geq سینه‌ای بزرگ \geq
ذوزنقه‌ای فوقانی \geq تحت خاری \geq سه‌گوش میانی \geq سه‌گوش خلفی
پرس آپ: سینه‌ای بزرگ \geq سه‌گوش قدامی \geq تحت خاری \geq
ذوزنقه‌ای میانی \geq سه‌گوش خلفی \geq ذوزنقه‌ای فوقانی \geq سه‌گوش
میانی

دی ۲ اف: ذوزنقه‌ای میانی \geq سه‌گوش خلفی \geq سه‌گوش میانی \geq
سه‌گوش قدامی \geq تحت خاری \geq ذوزنقه‌ای فوقانی \geq سینه‌ای بزرگ

جدول ۳ - آمار توصیفی سطح فعالیت عضلانی عضلات مورد نظر در تمرينات انتخابی

تری پاد		پرس آپ		دی ۲ اف		دی ۲ ای		ابداکشن		اسکپشن		عضله
انحراف	میانگین معیار	انحراف	میانگین معیار	انحراف	میانگین معیار	انحراف	میانگین معیار	انحراف	میانگین معیار	انحراف	میانگین معیار	
۳۸/۹	۵۳/۵	۲۸/۶	۴۱/۹	۲۹/۲	۴۱/۷	۱۸/۶	۲۲/۷	۲۷/۵	۳۷/۵	۳۰/۲	۶۴/۰	سینه‌ای بزرگ
۲۴/۷	۴۰/۴	۴۸/۳	۱۹/۰	۳۷/۵	۸۹/۸	۳۳/۲	۸۸/۶	۳۲/۴	۳۷/۴	۲۰/۵	۲۷/۸	ذوزنقه‌ای فوقانی
۳۲/۸	۳۲/۳	۲۷/۲	۵۱/۳	۲۵/۴	۴۸/۳	۲۷/۸	۴۳/۹	۲۰/۶	۲۶/۸	۲۹/۲	۳۲/۰	ذوزنقه‌ای میانی
۳۱/۸	۵۵/۰	۱۸/۵	۴۷/۱۲	۱۵/۲	۳۷/۸	۲۶/۶	۲۵/۰۹	۲۹/۵	۳۲/۰	۳۰/۱	۴۸/۰	تحت خاری
۳۶/۳	۵۷/۹	۳۴/۱	۷۹/۲	۴۰/۴	۷۲/۹	۲۳/۴	۵۱/۲	۳۰/۴	۶۴/۰	۳۰/۴	۳۷/۴	سه‌گوش قدامی
۲۱/۵	۴۳/۶	۳۴/۹	۷۴/۲	۵۴/۳	۷۳/۶	۳۳/۸	۶۵/۸۶	۳۰/۹	۴۸/۵	۲۲/۲	۲۰/۳	سه‌گوش میانی
۱۸/۵	۳۰/۹	۲۰/۲	۳۷/۸۶	۳۲/۹	۳۸/۵	۶۵/۷	۶۵/۸۶	۲۲/۳	۲۰/۴	۲۷/۱	۳۷/۰	سه‌گوش خلفی

بحث

در این تحقیق عضلات بر اساس فعالیت عملکردی شان به گروههای تقسیم بندی شده‌اند: ۱. عضلات حرکت دهنده اصلی (Prime mover) مانند عضلات سه‌گوش قدامی، میانی و خلفی ۲. عضلات ثبات دهنده کمربند شانه‌ای (Stabilizer) مانند عضلات سینه‌ای بزرگ و ذوزنقه‌ای فوقانی ۳. عضلات هدایت کننده کتف و بازو (Steerer) همانند عضله ذوزنقه‌ای میانی به عنوان هدایت کننده کتف و عضله تحت خاری به عنوان هدایت کننده سر استخوان بازو. عضلات ثبات دهنده کتف عضلاتی هستند که به عنوان عضلات پیش عمل کننده (Pre-stage activation) و با هدف ایجاد ثبات در جزء نزدیک^۱ جهت انجام حرکت در الگوهای حرکتی آزاد عمل می‌کنند. عضلات هدایت کننده با هدف تنظیم رابطه حرکتی مابین اجزاء الگوی حرکتی و در طول الگوی حرکتی وظیفه شان حفظ بهترین موقعیت اجزاء عمل کننده با یکدیگر می‌باشد و عضلات حرکت دهنده اصلی به عنوان عضلاتی که به اجزای الگو تحرك می‌بخشنده تعريف می‌شوند. طبیعی است انتظار داشته باشیم در

بر اساس این جدول و نمودار (۳) توالی سطح فعالیت عضلانی عضلات مورد نظر از کم به زیاد به ترتیب زیر است:

تری پاد: سه‌گوش خلفی \geq ذوزنقه‌ای میانی \geq ذوزنقه‌ای فوقانی \geq سه‌گوش میانی \geq سینه‌ای بزرگ \geq تحت خاری \geq سه‌گوش قدامی

پرس آپ: سه‌گوش خلفی \geq سینه‌ای بزرگ \geq ذوزنقه‌ای میانی \geq سه‌گوش قدامی \geq سه‌گوش میانی \geq ذوزنقه‌ای فوقانی

دی ۲ اف: تحت خاری \geq سه‌گوش خلفی \geq سینه‌ای بزرگ \geq ذوزنقه‌ای میانی \geq سه‌گوش قدامی \geq سه‌گوش میانی \geq ذوزنقه‌ای فوقانی

دی ۲ ای: سینه‌ای بزرگ \geq تحت خاری \geq سه‌گوش خلفی \geq ذوزنقه‌ای میانی \geq سه‌گوش قدامی \geq سه‌گوش میانی \geq ذوزنقه‌ای فوقانی

ابداکشن: سه‌گوش خلفی \geq ذوزنقه‌ای میانی \geq تحت خاری \geq سینه‌ای بزرگ \geq سه‌گوش میانی \geq ذوزنقه‌ای فوقانی \geq سه‌گوش قدامی

اسکپشن: سه‌گوش میانی \geq ذوزنقه‌ای فرقانی \geq سه‌گوش خلفی \geq سه‌گوش قدامی \geq سینه‌ای بزرگ \geq ذوزنقه‌ای میانی \geq سه‌گوش خلفی \geq سه‌گوش قدامی \geq ذوزنقه‌ای فرقانی

آزمون دوفاکتوری (عضله و تمرين) تحلیل واریانس با اندازه‌های تکراری اختلاف مشخصی بین زمان شروع به فعالیت عضلات مختلف طی شش دسته تمرين نشان نداد.



الگوهای حرکتی کتف و یا محوری همانند الگوهای حرکتی دی ۲ اف و دی ۲ ای، رفتار این دو عضله وابسته به راستای انجام الگوی حرکتی می‌باشد.

عضله سه‌گوش میانی در کلیه الگوهای حرکتی به عنوان یک عضله حرکتی عمل می‌کند. ویژگی غالب ذوزنقه‌ای میانی و تحت خاری عدم وابستگی آنها به الگوی فعالیت عضلانی است و به نظر می‌رسد این عضلات به عنوان عضلات ثبات دهنده - هدایت کننده در کلیه الگوهای حرکتی رفتار تقریباً مشابهی از خود نشان دهنده و تنها در الگوهای حرکتی خاص نظیر دی ۲ ای که عضله ذوزنقه‌ای میانی می‌باشد کنترل کننده جابجایی استخوان کتف در این الگوی حرکتی باشد، سطح فعالیت بیشتری از خود نشان می‌دهد. با توجه به عدم انجام تحقیقات مشابه در سایر الگوها نتایج این تحقیق قابل مقایسه با سایر تحقیقات نبود.

الگوهای حرکتی توالی زمانی وارد عمل شدن عضلات به شکل عضلات ثبات دهنده، سپس عضلات هدایت کننده و در نهایت عضلات حرکت دهنده باشد (۲۷).

بر اساس نتایج بدست آمده عضله ذوزنقه‌ای فوقانی در حوزه زمان شروع به فعالیت عضله و حوزه سطح فعالیت در اغلب قریب به اتفاق الگوهای حرکتی مورد بررسی در این تحقیق سریعترین عضله بکار گرفته شده و با حداقل سطح فعالیت در مقایسه با سایر عضلات بوده است که این نتیجه کاملاً منطبق بر نظریه ای است که در بالا ذکر شده است و از سوی دیگر با نظریه جاندا^۱ (۱۹۸۶) که معتقد است برخی از عضلات از جمله ذوزنقه‌ای فوقانی تمایل به افزایش تون عضلانی و به تبع آن کوتاهی دارند می‌باشد (۲۸). بنابراین می‌توان نتیجه گرفت این عضله علاوه بر نقش خود به عنوان یک عضله چرخاننده کتف، به عنوان یک عضله وضعیتی با سطح فعالیت بالا تمایل به کوتاهی دارد. از سوی دیگر این نتیجه مشابه با نتیجه تحقیق لوکاس و همکاران (۲۰۰۱) بود که توالی زمانی عضلات ذوزنقه‌ای فوقانی و تحتانی، دندانه‌ای قدامی، تحت خاری و سه‌گوش میانی را حین بالا بردن اندام فوقانی در صفحه بررسی کرده و به این نتیجه رسیدند که عضله ذوزنقه‌ای فوقانی زودتر از سایر عضلات شروع به فعالیت می‌کند (۱۶). همچنین طبق یافته‌های تحقیق واذرورث (۱۹۹۷) از بین عضلات ذوزنقه‌ای فوقانی و تحتانی و دندانه‌ای قدامی حین بالا بردن اندام فوقانی در صفحه اسکاپولا، شروع به فعالیت عضله ذوزنقه‌ای فوقانی زودتر از سایر عضلات بود (۱۷).

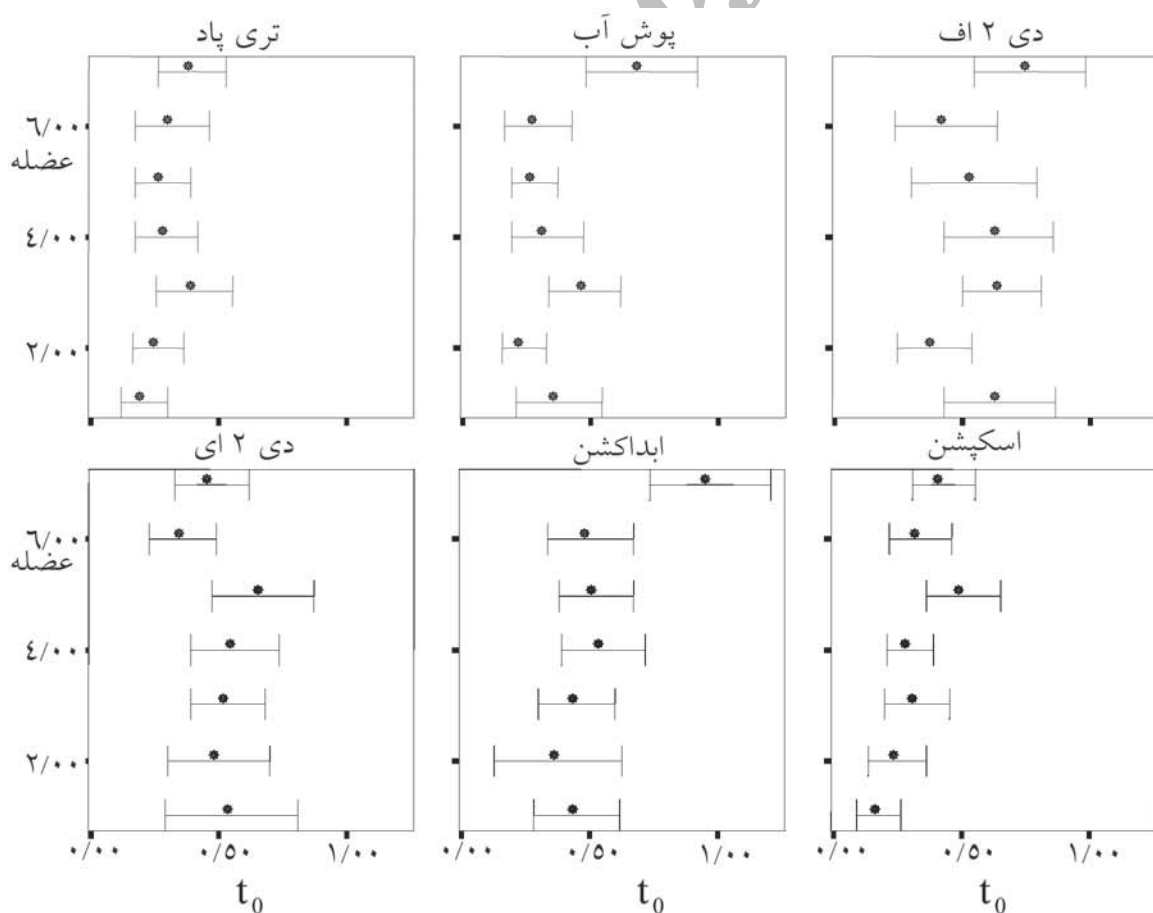
فعالیت عضلات سه‌گوش قدامی و خلفی به نظر می‌رسد عمدتاً در راستای خنثی کردن اجزاء مخالف حرکتی خود می‌باشد. ضمن آنکه در برخی از الگوهای حرکتی خصوصاً الگوهای حرکتی که به شکل مایل انجام می‌شوند، مانند الگوی حرکتی دور کردن بازو در صفحه

منابع:

- 1- Sahrman S.H. Diagnosis and treatment of movement impairment syndrome. First ed Vol. 1, Missouri, Mosby; 2002, p:3.
 - 2- Sahrman S.H. Diagnosis and treatment of movement impairment syndrome. First ed Vol. 1, Missouri, Mosby; 2002, pp: 12-15.
 - 3- Bang M D, Deyle G.D. Comparison of supervised exercise with & without manual physical therapy for patient with shoulder impingement syndrome. J Ortho & Sport Phys Thera. 2000; 30(3): 126-137.
 - 4- Lephart S M, Henry T.J. The physiological basis for open and closed kinetic chain rehabilitation for the upper extremity. J of Sp Rehab. 1996; 5: 71-87.
 - 5- Ballantyne B T, O' Hare S J, Paschall J L, Pavia – smith M M, Pitz A M, Gillon J F, et al. Electromyographic activity of selected shoulder muscles in commonly used therapeutic exercises. Phys Ther. 1993; 73(10): 677-682.
 - 6- Hintermeister R A, Lange G W, Schultheis J M, Bey M J, Hawkins
-
- 1- Jnanda
- R.J. Electromyographic activity and applied load during shoulder rehabilitation exercises using elastic resistance. Am Orthop Society for Sports Med. 1998; 26(2): 210-220.
 - 7- Fleisig G S, Jameson R C, Cody R C, Wilk K E, Chmielewski T. Muscle activity during shoulder rehabilitation exercises. Am Society of Biomechanics. 1998; 2: 14-18.
 - 8- Reddy A S, Mohr K J, Pink M M, Jobe F.W. Electromyographic analysis of the deltoid and rotator cuff muscles in persons with subacromial impingement. Journal of Shoulder and Elbow Surgery 2000; 9: 519-523.
 - 9- Ludewig P M, Cook T.M. Alterations in shoulder kinematics and associated muscle activity in people with symptoms of shoulder Impingement. Phys. Ther. 2000; 80(3): 276-291.
 - 10- Wise M B, Uhl T L, Mattacola C G, Nitz A J, Kibler B. The effect of limb support on muscle activation during shoulder exercises. J of Shoulder and Elbow Surg. 2001; 13: 614-620.

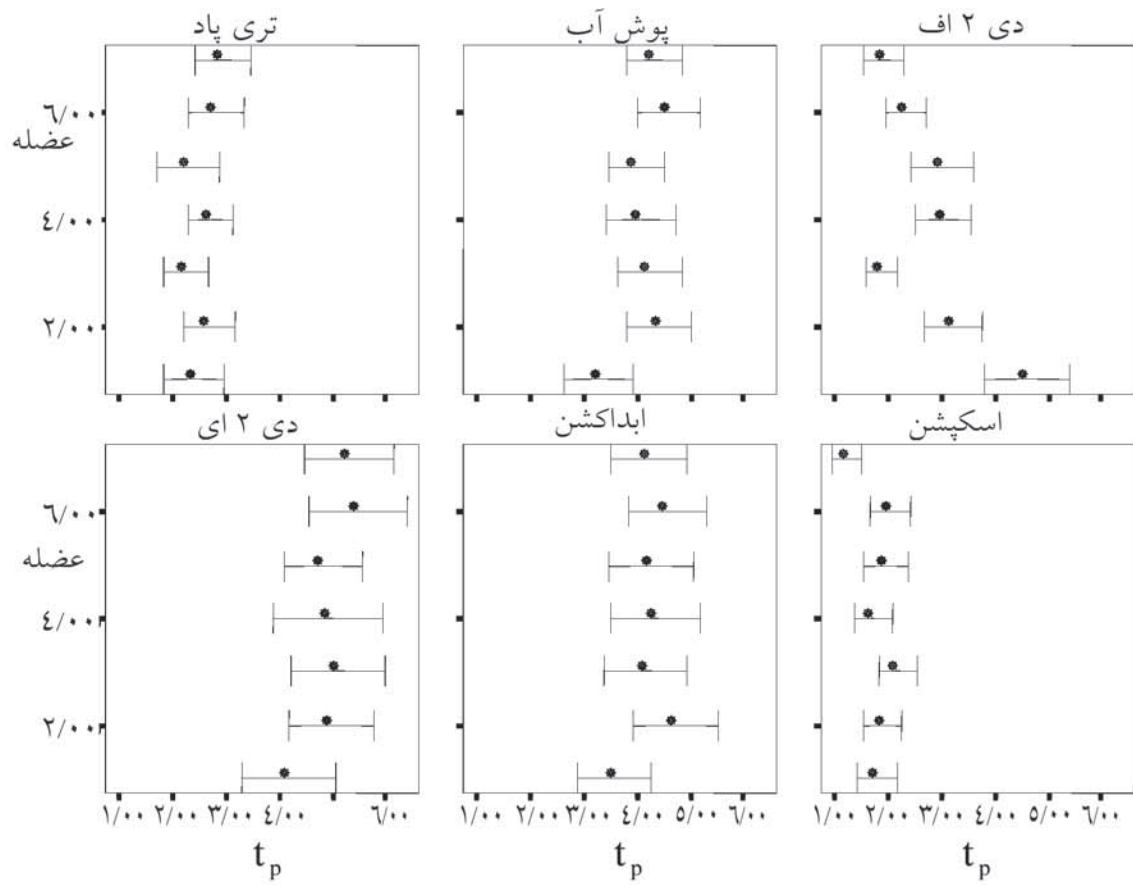


- 11- Uhl T L, Carver T J, Mattacola C G, Mair S D, Nitz A.J. Shoulder musculature activation during upper extremity weight – bearing exercise. *J Orthop Sports Phys Ther.* 2003; 33: 109-117.
- 12- Uhl T L, Wise M B, Mattacola C G, Nitz A.J. Electromyographical differences between slow and fast closed and open chain shoulder exercises. *J of Athlet Train.* 2003; 13: 51-60.
- 13- Ekstrom R A, Donatelli R A, Soderberg G.L. Surface electromyographic analysis of exercises for the trapezius and Serratus anterior muscles. *Orthop Sports Phys Ther.* 2003; 33(5): 247-258.
- 14- Kuschinsky N, Sciascia A, Uhl T L, Mair S, Nirz A J, Mattacola C.G. Muscle activity comparison of four common shoulder exercises in unstable and stable shoulder. First International Congress of Shoulder Therapists; 2004.
- 15- Gout B W, Uhl T L, Humphry L, Calico R M, Mccluskey G.M. Electromyography of shoulder and scapular musculature during an elevation strengthening progression. First International Congress of Shoulder Therapists; 2004.
- 16- Lucas K R, Polus B I, Rich P.A. Temporal sequence of muscle recruitment during scapular plane elevation. Department of Chiropractic; 2000.
- 17- Wadsworth D J, Bullock-Saxton J.E. Recruitment patterns of the scapular rotator muscles in freestyle swimmers with subacromial impingement. *Int J Sport Med.* 1997; 18(8): 618-24.
- 18- Lucas K R, Polus B I, Rich P.A. Muscle activation patterns: The effects of fatigue during scapular plane elevation. Fourth Meeting of the International Shoulder Group. Cleveland, OH, June 17-18, 2002.
- 19- David J, Magarey M E, Jones M A, Dvir Z, Turker K S, Sharpe M. EMG and strength correlates of selected shoulder muscles during rotations of the glenohumeral joint. *Chin Biomechanics.* 2000; 15: 95-102.
- 20- Hintermeister R A, Lange G W, Schultheis J M, Bey M J, Hawkins R.J. Electromyographic activity and applied load during shoulder rehabilitation exercises using elastic resistance. *AM Orthop Society for Sports Med.* 1998; 26(2): 210-220.
- 21- Soderberg G.L. Manual of surface electromyography for use in the occupational setting. Public Health Service. NIOSH publication, 1992, p: 27.
- 22- Decker M J, Hintermeister R A, Faber K J, Hawkinz R.J. Serratus anterior muscle activity during selected rehabilitation exercises. *Am Orthop Society for Sports Med.* 1999; 27(6): 784-791.
- 23- McLean L, Chislette M, Keith M, Murphy M, Walton P. The effect of head position, electrode site, movement and smoothing window in the determination of a reliable maximum voluntary activation of the upper Trapezius muscle. *Journal of Electromyography & Kinesiology* 2003; 13: 169-180.
- 24- Deluca C.J. The use of surface electromyography in biomechanic. *J Appl Biomechanic.* 1997; 13: 135-63.
- 25- Soderberg G.L. Manual of surface electromyography for use in the occupational setting. Public health service. NIOSH publication; 1992, p: 34.
- 26- Kendall F.P. Muscles testing and function. 4th ed. Maryland, Williams & Wilkins; 1993, pp: 279-293.
- 27-Oatis C.A. Kinesiology: The mechanics & pathomechanics of human movement, 1st ed. Philadelphia, Lippincott Williams & Wilkins; 2004, pp: 158-162.
- 28- Janda V. Pain in the locomotor system: A broad approach. Glasgow E.F. (ed). Aspects of manipulative therapy. USA, Churchill Livingstone; 1989.



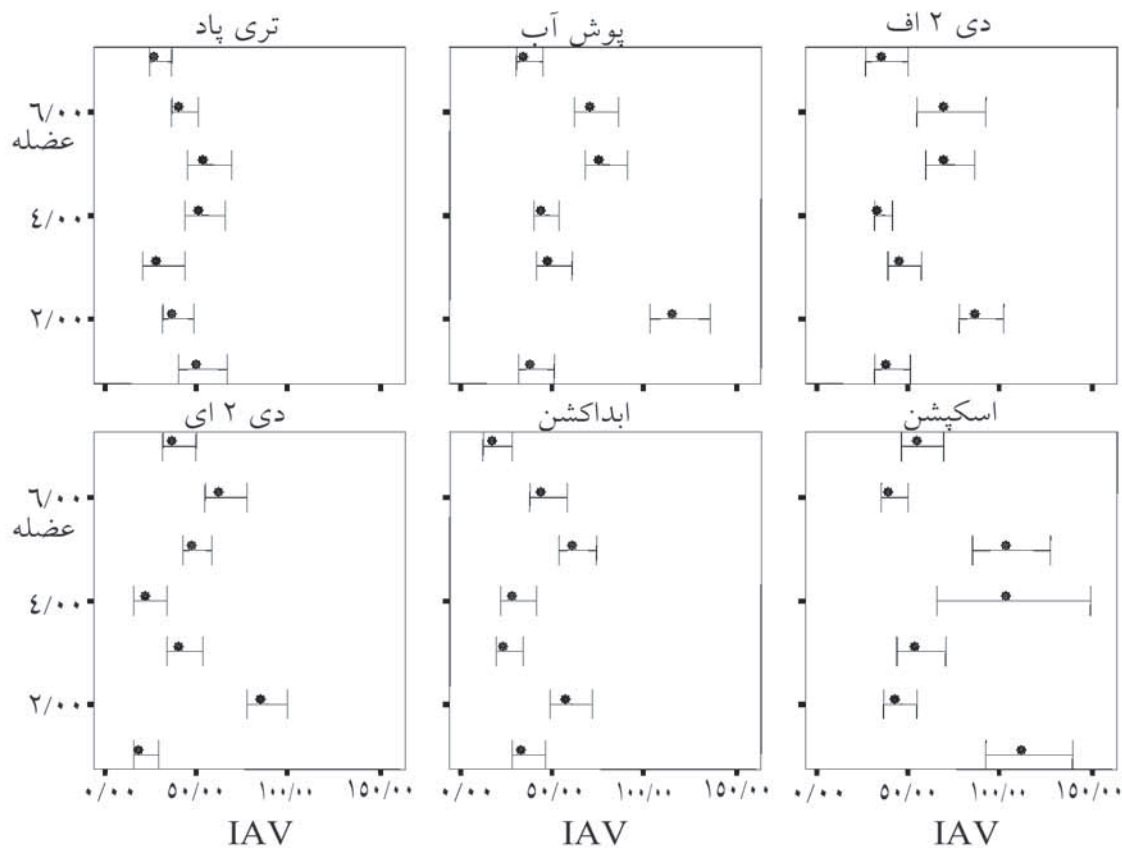
نمودار ۱ - نمودار توالی زمان شروع به فعالیت عضلات کمربند شانه ای* در شش تمرین مورد نظر

* شماره عضلات: ۱ = سینه ای بزرگ، ۲ = ذوزنقه ای فوقانی، ۳ = ذوزنقه ای میانی، ۴ = تحت خاری، ۵ = سه گوش قدامی، ۶ = سه گوش میانی، ۷ = سه گوش خلفی.



نمودار ۲- نمودار توالی زمان به حداکثر فعالیت رسیدن عضلات کمربند شانه‌ای* در شش تمرين مورد نظر

* شماره عضلات: ۱ = سینه‌ای بزرگ، ۲ = دوزنقه‌ای فوقانی، ۳ = دوزنقه‌ای میانی، ۴ = تحت خاری، ۵ = سه‌گوش قدامی، ۶ = سه‌گوش میانی، ۷ = سه‌گوش خلفی.



نمودار ۳ - نمودار توالی سطح فعالیت عضلات کمربند شانه‌ای* در شش تمرین مورد نظر

* شماره عضلات: ۱ = سینه‌ای بزرگ، ۲ = ذوزنقه‌ای فوقانی، ۳ = ذوزنقه‌ای میانی، ۴ = تحت خاری، ۵ = سه‌گوش قدامی، ۶ = سه‌گوش میانی، ۷ = سه‌گوش خلفی.